

ПОЛЯРИЗОВАННАЯ ЛЮМИНЕСЦЕНЦИЯ РАЗМЕРНО-КВАНТОВАННЫХ ГЕТЕРОСТРУКТУР

Васько Ф. Т., Стебловский Г. И.

Проведено теоретическое рассмотрение спонтанного испускания квантов объемных электромагнитных колебаний при переходах электронов между уровнями квантовых ям. Люминесценция оказывается частично линейно поляризованной и зависит от угла между волновым вектором излучаемого фотона и нормалью к двумерному слою, а также от параметров гетероструктуры (ширины квантовой ямы, структуры энергетических зон и величины разрывов зон на гетеропереходе). Обсуждается также циркулярно поляризованная люминесценция ориентированных по спину электронов. Рассматриваются кейновская и двузонная (дираковская) модели квантовых ям, описывающие гетероструктуры на основе $\text{Al}_x\text{Ga}_{1-x}\text{As}$ и халькогенидов свинца.

1. Зона-зонная люминесценция горячих электронов в объеме полупроводника подробно изучена [1]. В последние годы интенсивно исследуется люминесценция квазидвумерных ($2D$) электронов в гетероструктурах [2], причем уже в первых опытах наблюдалась циркулярно поляризованная люминесценция ориентированных по спину $2D$ -электронов [3]. Эти исследования позволяют определять ряд параметров гетероструктур (ширину квантовой ямы, величину разрывов зон на гетеропереходах и т. д.), но поляризационные зависимости при этом обычно не используются, хотя они существенно зависят от этих параметров. Такое положение не связано, видимо, с дополнительными экспериментальными трудностями, а обусловлено отсутствием сколько-нибудь детального теоретического рассмотрения поляризованной люминесценции $2D$ -электронов. В работе на основе уравнения для матрицы плотности неравновесных фотонов $\langle b_{q\mu}^+ b_{q'\mu'}^- \rangle$ (q и μ — волновой вектор и поляризация фотона) описываются процессы люминесценции неравновесных $2D$ -электронов в квантовых ямах.

Особенности проведенного расчета связаны с необходимостью описания взаимодействия двумерных электронных возбуждений с объемными электромагнитными модами (различие диэлектрических проницаемостей слоев не изменяет качественно характера люминесценции, если не рассматривать волноводные моды, распространяющиеся вдоль $2D$ -слоя). Из-за несохранения перпендикулярной $2D$ -слою компоненты импульса $\langle b_{q\mu}^+ b_{q'\mu'}^- \rangle$ будет недиагональной по $q_\perp = (q \cdot n)$ (n — нормаль к плоскости $2D$ -слоя). Квантовое кинетическое уравнение¹ для $\langle b_{q\mu}^+ b_{q'\mu'}^- \rangle$ можно преобразовать к стандартному квазиклассическому виду в дальней зоне $z \gg 2\pi/q_\perp$ ($2D$ -электроны локализованы в слое толщиной $d \ll 2\pi/q_\perp$ у плоскости $z=0$), вводя вигнеровскую плотность фотонов $N_{\mu\mu'}(q, z)$. Такое уравнение следует дополнить граничным условием на плоскости $z=0$, содержащим скорость эмиссии фотонов $2D$ -электронами $I_{\mu\mu'}(q)$. Этот вывод и язное выражение для $I_{\mu\mu'}(q)$ приведены в п. 2; там же дана связь $I_{\mu\mu'}$ с параметрами Стокса $\xi_{1-3}(q)$.

¹ См., например, [4]; в [5] такое уравнение применяется для аналогичной задачи описания эмиссии акустических фононов неравновесными $2D$ -электронами.

Далее проводится вычисление $\xi_{1-3}(q)$ для переходов 2D-электронов в незаполненные размерно-квантованные состояния валентных зон. Излучение оказывается частично линейно поляризованным (см. п. 4), причем направление поляризации существенно зависит от структуры энергетических зон материалов (схема вычисления матричных элементов перехода изложена в п. 3). Для двухзонной (дираковской) модели, описывающей гетероструктуры на основе халькогенидов свинца, люминесценция поляризована в плоскости, параллельной 2D-слою, а для кейновской модели, описывающей гетероструктуры на основе полупроводников типа $A^{III}B^V$, результаты зависят от типа конечного состояния: при переходах в состояния тяжелых дырок излучение поляризовано параллельно 2D-слою, а для состояний легких дырок люминесценция поляризована в плоскости, определяемой векторами q и n (рис. 1). Степень линейной поляризации зависит от угла q , n и ширины квантовой ямы d . В случае ориентации 2D-электронов по спину (S — вектор спиновой плотности) излучение будет циркулярно поляризованным, причем степень поляризации ξ_2 пропорциональна S (см. п. 5).

2. Рассматривая трансляционно инвариантные в плоскости 2D-слоя электронные распределения, опишем излучаемые фотонами с помощью вигнеровской плотности

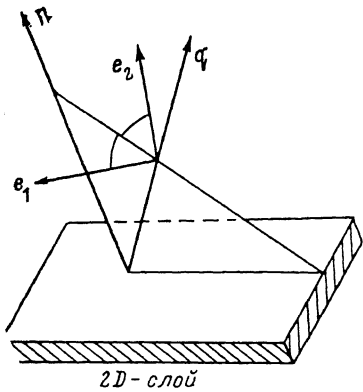


Рис. 1. Ориентация векторов, характеризующих люминесценцию.

n — нормаль к 2D-слою, q — волновой вектор, $e_{1,2}$ — орты поляризации.

$$N_{\mu\mu'}(q, z) = \sum_q \exp(iQz) \langle b_{q_\parallel q_\perp + Q/2\mu}^\dagger b_{q_\parallel q_\perp - Q/2\mu'} \rangle, \quad q = (q_\parallel, q_\perp). \quad (1)$$

Эмиссия фотонов при переходах электронов между локализованными у плоскости $z=0$ состояниями описывается распределением $N_{\mu\mu'}(q, z)$ на больших расстояниях, где (1) удовлетворяет уравнению (J_{ph} описывает релаксацию фотонов в объеме)

$$v_\perp \frac{\partial N_{\mu\mu'}(q, z)}{\partial z} = J_{ph}, \quad v_\perp = \frac{\partial \omega_q}{\partial q_\perp}. \quad (2)$$

Такое уравнение следует дополнить граничным условием

$$v_\perp N_{\mu\mu'}(q, z)|_{z=0} = I_{\mu\mu'}(q), \quad d \rightarrow 0, \quad (3)$$

получаемым интегрированием точного кинетического уравнения для (1) через 2D-слой и содержащим недиагональную по индексу μ скорость генерации фотонов $I_{\mu\mu'}(q)$. Явное выражение для такой скорости записываем с использованием дипольного приближения для матричного элемента перехода [x — высокочастотная диэлектрическая проницаемость, ϵ_{qp} — орт поляризации, $v_{ll'}$ (p) — матричный элемент скорости, p — 2D-импульс, а набор дискретных чисел l включает в себя номер размерно-квантованного уровня n , зоны и спина σ]

$$I_{\mu\mu'}(q) = \frac{e^2}{\hbar x \omega_q} \sum_{l_1, l_4} \int d\mathbf{p} f_{l_1 l_4}(p) [\delta_{l_3 l_4} - f_{l_3 l_4}(p)] M_{\mu\mu'}(l_2 l_3 | l_4 l_1) \delta(\hbar \omega_q + \epsilon_{l_3 p} - \epsilon_{l_1 p}),$$

$$M_{\mu\mu'}(l_2 l_3 | l_4 l_1) = (\mathbf{e}_{q\mu} \cdot \mathbf{v}_{l_2 l_3}(p)) (\mathbf{e}_{q\mu'} \cdot \mathbf{v}_{l_4 l_1}(p))^*. \quad (4)$$

Это соотношение согласуется с результатом «золотого правила» квантовой механики, дающего квадрат модуля матричного элемента перехода лишь в случае $\mu = \mu'$ и диагонального² электронного распределения $f_{ll'}(p) \sim \delta_{ll'}$.

² Без учета в (4) диссипации можно рассматривать лишь недиагональные по квантовым числам элементы $f_{ll'}(p)$ (энергетические уровни вырождены), когда $\Delta \epsilon_{ll'} = \epsilon_{lp} - \epsilon_{l'p} = 0$; другие вклады малы по параметру $\hbar/\Delta \epsilon_{ll'}$ (τ — электронное время релаксации).

Для простоты далее рассмотрим люминесценцию неравновесных электронов в пустые дырочные состояния, т. е. $f_{l_3 l_4}(p)=0$. Будем считать также, что электроны заполняют лишь нижний размерно-квантованный уровень, причем их средняя энергия меньше расстояния между уровнями, так что переходы в различные валентные подзоны дают разделенные по спектру пики. Если можно также пренебречь поглощением в объеме, то фотонное распределение будет однородным $N_{\mu\mu'}(\mathbf{q})=I_{\mu\mu'}(\mathbf{q})/v_{\perp}$, а его спектральные, поляризационные и угловые зависимости определяются выражением (4), при этом интенсивность люминесценции выразится через $I_0(\mathbf{q})=\sum_{\mu=1,2} I_{\mu\mu}(\mathbf{q})$, а ее поляризация будет характеризоваться параметрами Стокса [6], связанными с (4) соотношениями

$$\xi_1(\mathbf{q}) = \frac{I_{12}(\mathbf{q}) + I_{12}^*(\mathbf{q})}{I_0(\mathbf{q})}, \quad \xi_2(\mathbf{q}) = i \frac{I_{12}(\mathbf{q}) - I_{12}^*(\mathbf{q})}{I_0(\mathbf{q})}, \quad \xi_3(\mathbf{q}) = \frac{I_{11}(\mathbf{q}) - I_{22}(\mathbf{q})}{I_0(\mathbf{q})}. \quad (5)$$

Орты поляризации ϵ_1, ϵ_2 , лежащие в перпендикулярной \mathbf{q} плоскости, удобно далее ориентировать под углом $\pm\pi/4$ относительно пересечения этой плоскости и плоскости, определяемой векторами \mathbf{q} и \mathbf{n} (рис. 1). Тогда случай $\xi_3=0$, $\xi_1 > 0$ соответствует поляризации в плоскости, содержащей \mathbf{q} и \mathbf{n} , а при $\xi_3=0$, $\xi_1 < 0$ излучение поляризовано в параллельной $2D$ -слою плоскости, причем степень линейной поляризации дается $-\xi_1$ (степень циркулярной поляризации определяется ξ_2). Например, для переходов между размерно-квантованными уровнями зоны проводимости, когда в (6) отлична от нуля лишь z -компоненты матричных

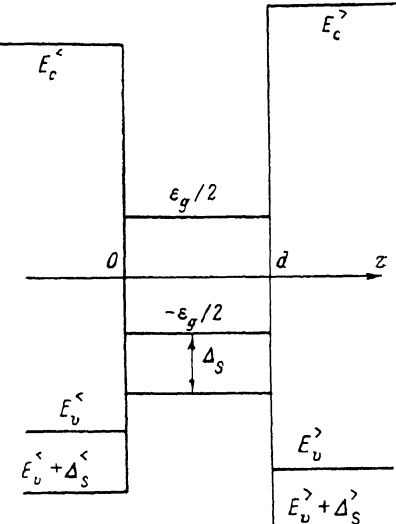


Рис. 2. Зонная диаграмма рассматриваемой гетероструктуры.

Считаются разрывы зон большими, так что подбарьерное проникновение волновых функций в области $z < 0$ и $z < d$ несущественно; рассматриваются лишь симметричные ямы, в которых $E_i^> = E_i^<$.

элементов скорости, люминесценция будет полностью поляризованной в определяемой \mathbf{q} и \mathbf{n} плоскости.

3. Для расчета определяемых (4) характеристик поляризованной люминесценции при переходах у краев зон используем вырожденный по спину (считаем квантовую яму симметричной в перпендикулярном $2D$ -слою направлении) параболический спектр. Использующие $\mathbf{k} \cdot \mathbf{p}$ -метод численные расчеты такого спектра обсуждаются в обзоре [7].

Низкоэнергетические (близкие к экстремумам c - и v -зон) электронные состояния гетероструктур описываются в $\mathbf{k} \cdot \mathbf{p}$ -приближении системой уравнений

$$\left[\hat{\epsilon}_z + \hat{\mathbf{v}} \mathbf{P} + \frac{1}{2} (\mathbf{P} M^{-1} \mathbf{P}) \right] \psi_{pz} = E \psi_{pz}, \quad (6)$$

в которой $\mathbf{P} = \left(\mathbf{p}, -i\hbar \frac{d}{dz} \right)$ — оператор импульса, $\hat{\mathbf{v}}$ — междузонная матрица скорости, M — учитывающая вклад далеких зон эффективная масса, причем изменения этих параметров с составом гетероструктуры (вдоль OZ) здесь несущественны. Диагональная матрица $\hat{\epsilon}_z$ определяет положения экстремумов зон, которые изменяются на ограничивающих квантовую яму гетеропереходах $z=0, d$. При резком изменении состава гетероструктуры (если толщина переходного слоя порядка постоянной решетки a) надо дополнить (6) граничными условиями для огибающих волновых функций ψ_{pz} при $z=0, d$. Но для состояний, близких по энергии к экстремумам зон, можно моделировать гетеро-

переход плавно изменяющимся на масштабе a (но резким по сравнению с между-
зонной длиной) варизонным слоем и переходить к граничным условиям лишь
после исключения далеких зон (см. обсуждение в [8]).

Для кейновской модели (схема экстремумов зон приведена на рис. 2) не-
параболические поправки в задаче на собственные значения малы, а потому
энергетические уровни и волновые функции квантовой ямы находим из (6),
исключая вклад далеких зон (используем при этом явные выражения для
кейновской матрицы скорости v [9]). При этом в уравнении для c -зоны воз-
никнет эффективная масса электрона, а восьмирядный столбец φ_p , наряду
с вырожденными по спину компонентами $\varphi_{p\sigma}^{1,2}$ содержит и малый (порядка
 $\mathcal{P}_h/d\varepsilon_a$, \mathcal{P} — характерная кейновская скорость) вклад v -зоны. Аналогичное
исключение c -зон из уравнений для v -состояний дает для тяжелых (h) дырок
вырожденное по спину уравнение с их эффективной массой M , причем в точке
 $p=0$ волновые функции дырок h не содержат вкладов других зон. Уравнение
для состояний легких (l) дырок и спин-отщепленной зоны расщепляется лишь при
выполнении неравенства $\hbar/d \ll \sqrt{m_l \Delta_s}$ (m_l — эффективная масса l -дырок, Δ_s
порядка величины спин-орбитального расщепления зон). В таких приближениях
вырожденные по спину c -, l - и h -состояния содержат лишь ненулевой спинор
 $\varphi_n^j(z)$, причем $j=1, 2$ для c -зоны, $j=3, 6$ для h -дырок и $j=4, 5$ для l -дырок. Исп-
ользуемый далее матричный элемент скорости определяется через такие функции
выражением ($v=l, h$)

$$\Lambda_{nn'}^{(cv)} = \int_0^d dz \varphi_n^c(z) \varphi_{n'}^v(z), \quad \Omega_+(c1|h1) = \Omega_-(c-1|h-1) = 1, \quad (7)$$

$$\Omega_+(c-1|l1) = \Omega_-(c1|l-1) = 1/\sqrt{3}, \quad \Omega_x(c1|l1) = \Omega_x(c-1|l-1) = 2/\sqrt{3},$$

причем выписаны лишь ненулевые циркулярные компоненты вектора Ω , а оп-
ределяющий правила отбора фактор перекрытия $\Lambda_{nn'}^{(cv)}$ в приближении больших
разрывов c - и v -зон переходит в $\delta_{nn'}$.

Рассмотрим дираковскую двухзонную модель. Для симметричных c - и v -зон
в (6) используем $M \rightarrow \infty$ и (4×4) -матрицы $\hat{v} = s\sigma p_1$, $\hat{e}_s = m_s s^2 p_3 + \Delta_z$, которые
содержат не зависящую от состава характерную скорость s , резко изменяющиеся
на гетеропереходе эффективную массу m_s и энергию Δ_z [эти величины определяют
изменение энергии экстремумов c - и v -зон $\epsilon_c(z) = m_s s^2 + \Delta_z$ и $\epsilon_v(z) = -m_s s^2 + \Delta_z$],
а также спиновые матрицы Паули σ и связанные с зонной переменной матрицы
 p_{1-3} (см. [10]). Удобно выполнить унитарное преобразование (6) с помощью опе-
ратора $(1 + ip_3 \sigma_z)/\sqrt{2}$ [11], а затем диагонализацию по спиновой переменной,
так что четырехрядный столбец $\varphi_{p\sigma}$ определится выражением $\begin{pmatrix} \varphi(\sigma) \\ \chi(\sigma) \end{pmatrix}$, в котором
 $|\sigma\rangle$ — собственная функция σ_s , а для φ и χ получается система уравнений перво-
го порядка. Выполнив такие же унитарные преобразования оператора ско-
ростей \hat{v} , для матричного элемента, описывающего переходы между состояниями
 c - и v -зон (определенными наборами квантовых чисел $+n\sigma$ и $-n'\sigma'$ соот-
ветственно), получим

$$\Psi_{n\sigma n'\sigma'}(p) = s(\sigma_{\sigma\sigma'}, [n \times p]) \frac{[n \times p]}{p^2} \Psi_{n\sigma n'\sigma'} + s\sigma \frac{p}{p} \delta_{\sigma\sigma'} \Psi_{n\sigma n'\sigma'} + i n s \delta_{\sigma\sigma'} \Phi_{n\sigma n'\sigma'},$$

$$\Phi_{n\sigma n'\sigma'} = \int_0^d dz [\varphi_{+n\sigma p}(z) \chi_{-n'\sigma' p}(z) - \varphi_{-n'\sigma' p}(z) \chi_{+n\sigma p}(z)], \quad (8)$$

$$\Psi_{n\sigma n'\sigma'} = \int_0^d dz [\varphi_{+n\sigma p}(z) \chi_{-n'\sigma' p}(z) + \varphi_{-n'\sigma' p}(z) \chi_{+n\sigma p}(z)],$$

где $\sigma_{\sigma\sigma'} = (\sigma | \sigma' | \sigma')$, а зависимость факторов перекрытия Ψ и Φ от спиновых
переменных и $2D$ -импульса у края зон несущественна. Эти факторы заметно

изменяются с d на масштабе \hbar/ms и для больших разрывов зон зависят от $\alpha = \sqrt{E_c/E_b}$ (см. [12], где рассматривается задача на собственные значения для такой модели). Результаты численного расчета факторов перекрытия для $n=n'=1$ приведены на рис. 3.

4. Результаты расчета степени линейной поляризации люминесценции электронов в квантовых ямах на основе халькогенидов свинца приведем для случая, когда средняя энергия электронов $\bar{\epsilon} \ll e_g$ и расстояния между размерно-квантованными уровнями такие, что возможны лишь переходы между состояниями с $n=n'=1$. После усреднения по углу p -плоскости ϕ и суммирования по спиновой переменной матричного элемента перехода в (4) получим выражение

$$\frac{1}{2\pi} \int_0^{2\pi} d\varphi \sum_{\sigma, \sigma'} M_{\mu\mu'}(1\sigma 1\sigma' | 1\sigma 1\sigma') = 2s^2 [\Psi_{11}^2 \delta_{\mu\mu'} + (\Phi_{11}^2 - \Psi_{11}^2) (\mathbf{e}_{q\mu} \cdot \mathbf{n}) (\mathbf{e}_{q\mu'} \cdot \mathbf{n})]. \quad (9)$$

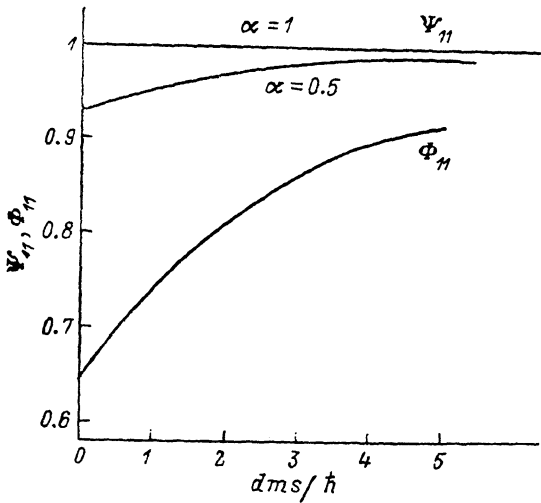


Рис. 3. Зависимости факторов перекрытия Φ_{11} и Ψ_{11} от ширины квантовой ямы d .

В рассматриваемом приближении зависимость (9) от p несущественна, и для параметров Стокса получим

$$\xi_1(\mathbf{q}) = \frac{e_z^2 (\Phi_{11}^2 - \Psi_{11}^2)}{\Psi_{11}^2 + e_z^2 (\Phi_{11}^2 - \Psi_{11}^2)}, \quad \xi_2, \omega_q = 0, \quad (10)$$

где $e_z = (\mathbf{e}_{1,2} \cdot \mathbf{n}) = \sin(\hat{\mathbf{q}}, \hat{\mathbf{n}})/\sqrt{2}$, т. е. для $(\hat{\mathbf{q}}, \hat{\mathbf{n}}) \rightarrow 0$ излучение будет неполяризованным, а с ростом этого угла ξ_1 оказывается отрицательным, так что излучение поляризовано параллельно $2D$ -слою. Степень линейной поляризации не зависит от энергии излучаемых квантов и $\bar{\epsilon}$, а определяется шириной квантовой ямы и параметром α . Эти зависимости определяются отношением $(\Phi_{11}/\Psi_{11})^2$, которое находится из рис. 3. Для широких квантовых ям (при $d \gg \hbar/ms$) рассматриваемое отношение близко к единице и ξ_1 обращается в нуль, а для узких ($d \leq \hbar/ms$) степень линейной поляризации велика и существенно зависит от α .

Расчет линейно поляризованной люминесценции $2D$ -электронов для кейновской модели выполняется аналогично. Для просуммированного по спину матричного элемента перехода [зависимость от p в (7) отсутствует] получаем

$$\begin{aligned} \sum_{\sigma, \sigma'} [\mathbf{e}_{q\mu}(c1\sigma | \hat{v} | v1\sigma')] [\mathbf{e}_{q\mu'}(c1\sigma | \hat{v} | v1\sigma')]^* = \\ = \sigma^2 \times \begin{cases} (\Delta_{11}^{ch})^2 [\delta_{\mu\mu'} - (\mathbf{e}_{q\mu} \cdot \mathbf{n}) (\mathbf{e}_{q\mu'} \cdot \mathbf{n})], & v = h, \\ (\Delta_{11}^{cl})^2 [\delta_{\mu\mu'} + 3(\mathbf{e}_{q\mu} \cdot \mathbf{n}) (\mathbf{e}_{q\mu'} \cdot \mathbf{n})]/3, & v = l, \end{cases} \end{aligned} \quad (11)$$

что при $\mu=\mu'$ совпадает с выражениями, приведенными в [13] (где рассчитывалась лишь интенсивность люминесценции). Без учета непарabolичности спек-

тральные и поляризационные зависимости опять разделяются, и для параметров Стокса, описывающих переходы в состояния h - и l -дырок, получим

$$\xi_1(\mathbf{q}) = \begin{cases} e_z^2/(e_z^2 - 1), & h = v, \\ 3e_z^2/(3e_z^2 + 1), & l = v, \end{cases} \quad \xi_{2,3}(\mathbf{q}) = 0, \quad (12)$$

и аналогично (10) при $(\hat{\mathbf{q}}, \hat{\mathbf{n}}) \rightarrow 0$ излучение будет неполяризованным. Для переходов в h -состояния $\xi_1 < 0$ и для конечных углов \mathbf{q}, \mathbf{n} излучение поляризовано параллельно $2D$ -слою. Плоскость максимальной поляризации излучения при переходах в состояния l -дырок содержит векторы \mathbf{q} и \mathbf{n} , т. е. перпендикулярна $2D$ -слою. Аналогичное различие поляризационных характеристик известно и для объемной люминесценции горячих электронов [1].

5. Рассмотрим случай ориентированных по спину неравновесных электронов, описываемых недиагональным по квантовому числу распределением

$$f_E(1 + \sigma_{zz}S)/2 \quad (13)$$

(f_E — распределение по энергии на нижнем уровне, σ_{zz} — матричный элемент спиновой матрицы Паули, спиновую ориентацию S далее считаем малой). Теперь при усреднении матричного элемента перехода в (4) за счет зависящего от спина вклада в (13) рядом с (9) для двухзонной модели получаем выражение

$$\frac{1}{2\pi} \int_0^{2\pi} d\varphi \sum_{\sigma, \sigma'} M_{\mu\mu'} (1\sigma 15 | 1\sigma' 15) (\sigma_{zz} S) = i s^2 \Phi_{11} \Psi_{11} \times \times \{(\mathbf{e}_{q\mu} \cdot \mathbf{n}) [(\mathbf{e}_{q\mu'} S) - (\mathbf{e}_{q\mu'} \cdot \mathbf{n}) (S \cdot \mathbf{n})] - (\mu \leftrightarrow \mu') \}. \quad (14)$$

Аналогично (9), (10) зависимость от p в (14) несущественна, так что спектральные и поляризационные характеристики разделяются и для ориентированных по спину электронов. В линейном по S приближении за счет (14) получаем ненулевой результат для $\xi_2(\mathbf{q})$, определяющей степень циркулярной поляризации (орты e_1, e_2 введены на рис. 1):

$$\xi_2(\mathbf{q}) = \frac{e_z}{2} [(\mathbf{e}_1 S) - (\mathbf{e}_2 S)] \frac{\Psi_{11} \Phi_{11}}{\Psi_{11}^2 + e_z^2 (\Phi_{11}^2 - \Psi_{11}^2)}, \quad (15)$$

причем зависимость от d и граничных условий α опять определяется графиками (рис. 3). Теперь в широких квантовых пределах зависимость от α отсутствует, но $\xi_2(\mathbf{q})$ остается конечной.

После аналогичного (11) суммирования матричного элемента по спину для кубиновской модели получаем вместо (14)

$$i \mathcal{F}^2 (S \cdot n) \{(\mathbf{e}_{q\mu} \times \mathbf{e}_{q\mu'}) \cdot \mathbf{n}\} \times \begin{cases} -|\Lambda_{11}^{(ch)}|^2, & v = h, \\ |\Lambda_{11}^{(cl)}|^2/3, & v = l, \end{cases} \quad (16)$$

так что циркулярно поляризованная люминесценция возбуждается лишь проекцией S , перпендикулярной $2D$ -слою; этот вывод согласуется с экспериментом [3]. При малых S добавка (16) определяет степень циркулярной поляризации

$$\xi_2(\mathbf{q}) = (S \cdot n) \frac{\sqrt{1 - 2e_z^2}}{(1 - e_z^2)} \begin{cases} 1, & v = h, \\ -1/3, & v = l, \end{cases} \quad (17)$$

причем для переходов в h - и l -состояния результаты различаются знаком, а при $(\mathbf{q}, \mathbf{n}) \rightarrow 0$ степень циркулярной поляризации конечна.

Итак, выше получены формулы (10), (12), (15), (17), описывающие поляризованную люминесценцию $2D$ -электронов. Они определяют ряд качественных результатов: переходы в h - и l -состояния идентифицируются по поляризации (12), а (10) обусловлено непарabolичностью размерно-квантованных состояний в узких ямах. При количественном описании угловых и поляризационных зависимостей люминесценции возможен учет самосогласованного поля в (i), анизот-

тропии двухзонного спектра (изотропная модель описывает PbS, пленки которого на BaF₂ сейчас исследуются [14]) и других факторов, которые необходимо учитывать при конкретизации экспериментальной ситуации.

Список литературы

- [1] Захарченя Б. П., Мирлин Д. Н., Перель В. И., Решина И. Н. // УФН. 1982. Т. 136. В. 3. С. 459—499.
- [2] Shah J. // IEEE J. Quant. Electron. 1986. V. QE-22. N 9. P. 1728—1743.
- [3] Miller R. C. et al. // Phys. Rev. 1980. V. 22. N 2. P. 863—869.
- [4] Баръяхтар В. Г., Пелетминский С. В. // Изв. вузов СССР. Радиофизика. 1963. Т. 6. В. 6. С. 1115—1128.
- [5] Васько Ф. Т. // ФТТ. 1988. Т. 30. В. 7. С. 2092—2096.
- [6] Ландау Л. Д.. Лифшиц Е. М. Теория поля. М., 1967.
- [7] Bastard G., Btime J. // IEEE J. Quant. Electron. 1986. V. QE-22. P. 1625—1643.
- [8] Васько Ф. Т. // ФТП. 1985. Т. 19. В. 11. С. 1958—1964. Письма ЖЭТФ. 1979. Т. 30. В. 9. С. 574—577.
- [9] Zawadski W. // Lect. Not. Phys. 1980. V. 133. P. 85—157.
- [10] Мессиа А. Квантовая механика. Т. 2. М., 1979. 583 с. Аронов А. Г., Пикус Г. Е. // ЖЭТФ. 1966. Т. 51. В. 3. С. 505—516.
- [11] De Dios Leyva M., Alvares R., Gadnar J. // Phys. St. Sol. (b). 1984. V. 125. N 1. P. 221—228.
- [12] Волков В. А., Пинскер Т. Н. // ФТТ. 1981. Т. 23. В. 6. С. 1756—1759. Кисин М. В., Петросян В. И. // ФТП. 1988. Т. 22. В. 5. С. 829—833.
- [13] Магаринц Л. И., Романов А. А., Шик А. Я. // ФТП. 1987. Т. 21. В. 3. С. 404—410.
- [14] Chu T. K., Agassi D., Martines A. // Appl. Phys. Lett. 1987. V. 50. N 7. P. 419—421.

Институт полупроводников АН УССР
Киев

Получена 14.03.1989
Принята к печати 17.07.1989